

重錘落下方式によるコンクリート模型くいの貫入について

立命館大学 正員 工修 ○尼崎 駿二
立命館大学 正員 工博 明石外世樹

1 まえがき

くいを打撃貫入工法で施工する場合、くいの貫入機構については不明な点が多い。本研究はPC模型くい、模型地盤を用いて重錘落下方式により貫入試験を行ない、重錘重量、落高およびクッションの変化がくいの貫入に与える影響について調べたものである。

2 波動エネルギー

くいを打撃したとき、くいには圧縮応力波が生じることは周知の通りであるが、この波動によるくいの変位 ϵ および波動の有するエネルギー[波動エネルギー] E_w はそれぞれ次式で与えられる。

$$U = \frac{0.5 C t}{E}$$

$$E_w = \frac{A \sigma^2 C t}{E}$$

ここに、
 C :応力波伝播速度、 t :応力波立上り時間、
 σ :頭部圧縮応力、 A :くい断面積、 E :くい材の弾性係数

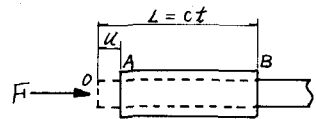


図-1: 衝撃による棒端の変形

3 実験方法

実験に用いた模型地盤は、最大粒径0.3mmの鐵鋼粒砂とセメントの混合材料に重量比で8%の灯油を加えたものを、一辺60cm、高さ130cmの木箱に深さ110cmまで投入し、表面が5cm沈下するまで木箱側面をたたいたものである。この場合、打撃条件(重錘重量、落高、クッション)を一定にすると、くいの貫入量は貫入深さ60~90cmではほぼ一定していた。そこで、まずクッションを一定にして落高 $H=10\text{cm}$ で重錘を2, 5, 10kg順次変化させて測定し、ついで、 $H=20, 30\text{cm}$ について測定する。このようにすると、 $H=30\text{cm}$, $M=10\text{kg}$ を除いて、いずれのクッションの場合も貫入深さが約90cmになるまでに測定を終えることができた。ついで、供試くいを本箱の底まで貫入させて、貫入量がなくなった状態でくい頭および中央部の応力波を同時観測する。実験に用いたPC模型くいは、 $A=46.36\text{cm}^2$, $L_p=204.6\text{cm}$, $E=2.21 \times 10^3 \text{kg/cm}^2$, $E_d=3.27 \times 10^5 \text{kg/cm}^2$ のモルタル製で、応力測定は頭部から10cm, 90cmで行なった。測定方法は昨年の講演における方法と同じである。表-1, 2はクッションおよび重錘の諸特性を示す。

4 実験結果および考察

4-1 打撃応力波について

頭部最大圧縮応力 σ_{\max} は打撃速度にはほぼ比例し、その立上り時間 t_u はいすれのクッションの場合も打撃速度が早くなるほど短かくなる傾向にあり、Hirschの解法のように一定ではない。したがって、図-2に示すように、波動変位 ϵ は打撃速度にはほぼ比例しているが、Hirschの解法から求めた値に比較してその勾配はゆるやかである。また、クッション:合成ゴムを除いて、いずれのクッションも t_u は0.7sec以下であるため、 σ_{\max} は先端からの反射波には影響されておらず、貫入時と

表-1: クッションの特性

クッション	断面積 (cm ²)	厚さ (cm)	単位体積重量 ×10 ³ (kg/m ³)	弾性係数 (kg/cm ²)
檻	42.75	4.0	0.90	25 600
ホーストラン	a 44.39	4.0	0.95	10 200
b "	"	2.0	"	"
合成ゴム	43.10	2.0	1.37	100

表-2: 重錘の特性

重錘重量 (kg)	実重量 M (kg)	断面積 A (cm ²)	高さ (cm)	材質
2	2.03	44.16	13.65	アルミニウム
5	4.78	"	14.07	鉄
10	9.92	"	28.66	"

固定時とではほとんど変化がなくほぼ同じ値になっている。波動変位も同様である。

中央部の圧縮応力 σ_m と反射引張り応力 σ_{ref} との比 σ_{ref}/σ_m は σ_m が大きくなると小さくなる傾向にある。すなわち σ_m が大きくなる程、くい先端が変位しにくくなっている。先端地盤は波動に対してより固定端に近い挙動を示めしている。また、図-3に示めすように、中央部応力波の先端からの反射波の部分(基線の下側)は、最初の部分はみだれているがある時間経過すると指數関数的に減衰している。これは、応力波がくい先に達してもくいは貫入せず、ある時間経過してから貫入することを示めるものと思われる。事実、応力波と貫入波の発生までの時間の差を調べると $5\sim 30$ msecである。

4-2 貫入について

頭部最大圧縮応力 σ_A と貫入量 P との関係をみると、図-4のように σ_A が増加しても P はそれほど増加しないが、波動エネルギー E_w が増加すると、それにはほぼ比例して P も増加している[図-5参照]。なお、合成ゴムの場合 $\sigma_A/$ 以上であり σ_A が反射波の影響を受けているため、 E_w は厳密には意味をもたない。 $P-E_w$ 関係がクッションによって異なるのは、地盤抵抗がかなりすこしも一定でないことおよびクッションにより応力波形が異なっているためと思われる。図-6は α と P との関係をプロットしたものであるが、両者の比 P/α は $5\sim 60$ と大きく変化している。これは、 σ_A および α は応力波の波長がくい長よりも短かいと先端抵抗には影響されず、おもに打撃条件に左右され、かつ P は α がそれほど増加しなくとも E_w が増加すれば増加するからである。なお、 E_w は打撃エネルギー $[W \times H]$ が一定でも、 W と H との組合せ方により異なり、 $W=10^3$ 、 $H=10$ cmの方より $W=5^3$ 、 $H=20$ cmよりも大きくなっている。

文献 リ尾崎、明石竹内「模型くい打撃時の応力波と貫入に関する考察」
昭和45年度土木学会関西支部年次学術講演集

2) T.J. Hirsch, "Fundamental Design and Driving Consideration for Concrete Piles," Highway Research Record, 16, 147, 1966, pp. 24~37

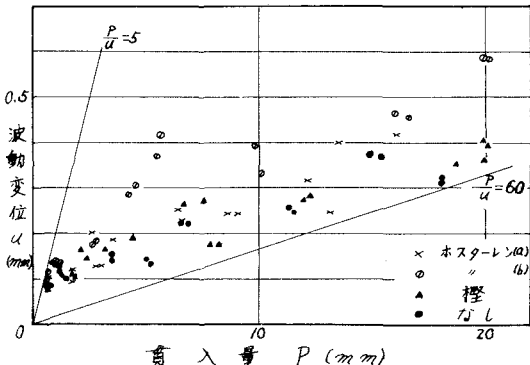


図-6：波動変位—貫入量

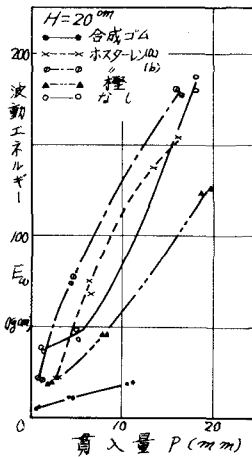


図-7：波動エネルギー—貫入量

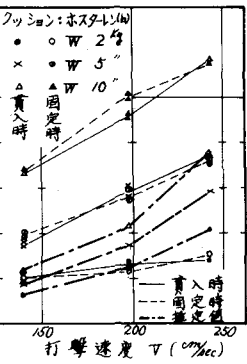


図-8：波動変位—打撃速度

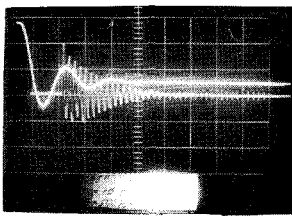


図-9：中央部応力波
左: $S=5$ mm/sec 壓縮: 34.6% (Steel)
右: $S=100$ mm/sec 引張: 6.15% (Wood)

Condition: Steel Strain (W), $W=5^3$, $H=30$ cm

図-9：中央部応力波

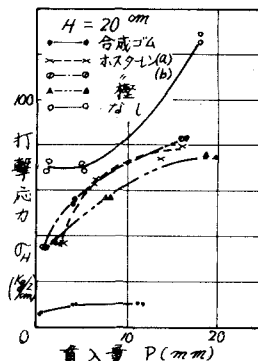


図-10：打撃応力—貫入量